

ANALIZA QoS A SISTEMELOR AD-HOC CU DISPOZITIVE DE CALCUL ORIENTATE PE SERVICII PRIN REȚELE PETRI STOCASTICE FUZZY

*Emilian Guțuleac, dr. hab, prof. univ., Sergiu Zaporojan, dr., conf. univ., Iurie Țurcanu, drd,
Ion Gîrleanu, drd.*

Universitatea Tehnică a Moldovei

INTRODUCERE

Actualmente, sistemele de calcul cu arhitecturi orientate pe servicii (SCOS) în timp real cunosc o dezvoltare rapidă, atât sub aspectul complexității și/sau performanțelor, cât și al ariei de răspândire [2, 5, 9]. Acest tip de sisteme trebuie să aibă o flexibilitate, disponibilitate și siguranță în funcționare (SF) deosebită. Diferite configurații pot fi folosite pentru alocarea și procesarea diferitor servicii sau condiții de operare ale aplicațiilor caracterizate de indicatori QoS (Quality of Service) specificați. Astfel, rețelele Ad-hoc (MANET) cu dispozitive de calcul mobile fără fir, utilizate în diferite domenii, au o arhitectură distribuită, topologie dinamică cu auto-organizare [10]. O rețea MANET prezintă vulnerabilități în ceea ce privește securitatea datelor și creează dificultăți în asigurarea serviciilor de securitate în fața multor tipuri de atacuri cum ar fi: interceptarea pasivă, interferența activă, personificarea, blackhole (gaura neagră), manipularea datelor și refuzul serviciului. În acest context, apare necesitatea de a descrie comportamentul dispozitivelor de calcul mobile (DCM) la atac și a evalua unii indicatori ai SF, care este capacitatea acestora de ași îndeplini misiunea, într-un interval de timp stabilit, în prezența defectărilor și a atacurilor intrușilor.

Actualmente DCM sunt folosite nu doar pentru servicii de comunicații ale convorbirilor și a mesajelor scurte, dar și pentru vizionarea clipurilor video, navigarea pe WEB și a multor altor aplicații complexe. Deși în ultimele decenii s-au efectuat mari progrese în tehnologia hardware, DCM încă se confruntă cu restricții de resurse folosite, cum ar fi durata de viață a bateriei, lățimea de bandă a comunicațiilor radio, capacitatea de stocare a datelor și performanța procesorului. Folosirea metodei de prelucrare prin migrarea (engl. Offloading) aplicațiilor de calcul (MPC) către servere, cum ar fi cloud servere, cu resurse de calcul performante permite de a spori capacitățile de prelucrare ale DCM [8]. Chiar dacă tehnologia bateriilor de alimentare cu energie este îmbunătățită în mod constant, aceasta nu este în măsură să țină pasul cu creșterea rapidă a consumului de energie de către DCM. Abordarea MPC poate prelungi durata de

viață a bateriei prin migrarea părții aplicațiilor de calcul cu consum intensiv de energie la cloud servere de calcul [8].

Decizia de a folosi aplicații MPO depinde de performanța DCM în MANET cu o conexiune stabilă, care garantează o comunicare fiabilă. În cazul folosirii unei rețele nefiabile finalizarea aplicației în curs de prelucrare poate fi amânată sau întreruptă la apariția unor congestii sau a pierderii pachetelor. Un număr vast de cercetări există privind luarea deciziilor de a folosi MPC pentru a îmbunătăți performanțele DCM și a economisi energia consumată [8, 10]. În timp ce abordarea MPC devine o soluție atractivă pentru DCM performante și de perspectivă energetică, aplicațiile procesate devin tot mai complexe, ele prezintă noi provocări în ceea ce privește SF mai ales securitatea, din cauza creșterii intensității traficului transmisiei datelor prin rețele de calcul cu amenințări potențial necunoscute. Indicatorii cantitativi QoS, în baza cărora se vor lua deciziile de folosire a MPC, trebuie să includă în plus și aspecte de securitate față de performanța de calcul și a eficienței energetice. Într-adevăr, securitatea informațională este o astfel de arie ce acoperă un număr vast de probleme ce trebuie cercetate .

Analiza cantitativă a SF a sistemelor de calcul a avut o mare atenție timp de mai multe decenii. Cu toate acestea cuantificarea securității informaționale a atras doar recent mai multă atenție, iar unele lucrări conceptuale inițiale au fost publicate deja acum zeci de ani, însă cele bazate pe modele serioase de evaluare ale mecanismelor de securitate au fost publicate recent .

Astfel, autorii din [10] au arătat modul în care poate fi modelat și analizat un centru de distribuție al cheilor secrete și cum de găsit rată optimă de reînnoire a acestor chei pentru un astfel de sistem.

Metodele uzuale de modelare a atacurilor și evaluare a riscului SF ale DCM, cum ar fi, arborii de defectare și de atac, lanțuri Markov, sau rețele Petri (RP) fuzzy (RPF) și RP generalizate stocastice (RPGS) care sunt metode probabilistice [8, 9, 12].

În [8] este efectuată analiza compromisului dintre performanța și securitatea sistemului MPC cu amenințări specifice de atacuri temporale în baza modelului hibrid al unui lanț Markov timp continuu

(LMTC) și al unui sistem de așteptare. Însă abordarea LMTC poate fi folosită doar pentru modelarea unei clase restrânse de procese de calcul cu un spațiu mic de stări, deoarece el poate fi construit numai în mod manual și apar probleme cu validarea acestor tipuri de modele. Totodată, este adoptată și ipoteza distribuției duratelor de schimbare a stărilor conform legii exponențiale, coeficientul de variație, K^v , al căreia este egal cu 1, ceea ce în realitate deseori acest fapt nu se confirmă. Astfel, apare necesitatea de a folosi un alt tip de distribuții pentru care $K^v \neq 1$, adică $0 < K^v < +\infty$ și a automatiza procesul de construire al LMTC, luând în considerație astfel de fenomene cum ar fi: competiția, sincronizarea, situații de conflict, excludere mutuală, așteptare, etc. [4, 7].

Cu toate că aceste metode tradiționale de analiză a SF la atac folosesc date referitoare la parametrii componentelor (ratele de defectare și de reparații ale componentelor, ratele de atac și apărare, etc.) care se presupune că sunt cunoscute cu anumită precizie și apoi validate prin experiențe reale. Însă, deseori, revenirea la experiențe, cu regret, este insuficientă pentru a valida cu precizia specificată a parametrilor de defectare, vulnerabilitate și atac. De asemenea, la modelarea și analiza QoS a DCM ce folosesc MPC una dintre cele mai importante subiecte care trebuie luată în considerare este *incertitudinea* legată de motivul pentru care parametrii modelului sunt, de obicei, sub forma unor parametri incerti. Deși abordarea cea mai frecvent folosită pentru reprezentarea incertitudinii la modelarea sistemului este efectuată prin modele markoviene, care se bazează pe procese stocastice, acest tip de modele nu totdeauna sunt bine potrivite pentru a descrie toate dimensiunile de incertitudine. Mai ales, imprecizia datelor, care este, de exemplu, rezultatul preciziei limitate de măsurare care nu are o natură statistică și deci, ea nu poate fi descrisă prin utilizarea modelelor probabilistice [1, 2, 6]. Teoria mulțimilor fuzzy este mai bine potrivită pentru modelarea și analiza sistemelor care includ și astfel de incertitudini și imprecizii. În plus, schimbarea dinamică a structurii MANET pot reduce cunoștințele noastre despre riscul reușitei unui atac. Prin urmare, pentru a elabora mecanisme de securitate adecvate, este necesar de a dezvolta noi abordări pentru a înțelege și a descrie funcționarea DCM wireless, a analiza vulnerabilitățile lor și a estima cantitativ SF la atac a acestora.

În această lucrare este prezentată o abordare de modelare și evaluare a riscului de atac SF care îmbină utilizarea metodelor logicii fuzzy și a RPG stocastice. În baza îmbinării acestor paradigme este definită o nouă clasă de RPG fuzzy, numite rețele

RPGSF, în baza cărora este efectuată modelarea și analiza indicatorilor QoS ai acestor tip de sisteme.

Lucrarea de față are ca scop cuantificarea atributelor de securitate și impactul acestora asupra performanței sistemelor DCM cu MPO. Acest tip de sistem este modelat printr-o rețea RPGSF cu rate fuzzy de declanșare ale tranzițiilor respective.

Avantajul îmbinării unor astfel de paradigme constă în faptul că modelele RPGSF descriu mai nuanțat comportamentul așteptat al atacătorilor și al sistemului de securitate. De asemenea, aceste modele permit de a evalua SF și pot ajuta la evaluarea indicatorilor QoS, estimarea riscului de pierderi așteptate, asociate cu diferite strategii de atac și apărare.

1. REȚELE PETRI STOCASTICE FUZZY

1.1. Elemente ale teoriei logicii fuzzy

Teoria mulțimilor fuzzy și conceptele cu numere fuzzy [1, 2, 6, 11] au apărut din necesitatea de a exprima cantitativ mărimi imprecise, în care domeniul de valori pe care îl ia funcția de apartenență nu mai este limitată la două valori, ci se extinde la întreg intervalul $[0, 1]$. Mulțimea fuzzy λ se definește astfel:

$$\lambda = \{(x, \mu_\lambda(x)) / x \in Z, \mu_\lambda(x) \in [0, 1]\},$$

unde funcția de apartenență $\mu_\lambda(x)$, asociată mulțimii fuzzy, arată gradul în care fiecare element din mulțimea Z aparține mulțimii fuzzy λ . Cu cât valoarea $\mu_\lambda(x)$ este mai apropiată de 1, cu atât este mai puternică apartenența la mulțimea dată.

Două tipuri de numere fuzzy sunt cel mai des întâlnite în aplicații: numerele triunghiulare și numerele trapezoidale. Utilizarea numerelor fuzzy triunghiularizate este mai indicată, un motiv fiind și acela al volumului de calcul.

Un număr fuzzy al λ este un număr fuzzy triunghiular, notat $\tilde{\lambda}(a, b, c)$, numai în cazul în care există trei numere reale $a \leq b \leq c$ astfel încât funcția de apartenență $\mu_\lambda(x)$ este:

$$\mu_\lambda = \begin{cases} (x-a)/(b-a), & a \leq x \leq b \\ 1, & x = b \\ (c-x)/(c-b), & b \leq x \leq c \\ 0, & \text{altfel} \end{cases}$$

De asemenea, în literatura de domeniu numerele fuzzy $\tilde{\lambda}$ sunt reprezentate și prin așa numite α -tăieturi (eng. α -cut): $\tilde{\lambda}_\alpha = \{x : \mu_\lambda(x) \geq \alpha \in [0, 1]\}$

cu următoarele *intervale de încredere* posibile la nivel α [11]: $\tilde{\lambda}_\alpha = [a + \alpha(b - a), c - \alpha(c - b)]$.

1.2. Definierea și regulile de funcționare RPGSF

La studierea SF a sistemelor, cunoștințele despre valorile parametrilor de defectare ale componentelor, ratelor de atac, riscurile de vulnerabilitate, etc. sunt, în general, imperfecte [12]. Incertitudinea valorilor reale ale parametrilor specificate poate avea două origini. Prima sursă de incertitudine provine din caracterul aleatoriu de informații care are o variabilitate naturală stocastică. A doua sursă de incertitudine de evaluare epistemică a riscului de atac este legată de caracterul imprecis și incomplet al informațiilor din cauza lipsei de cunoștințe despre valorile reale ale parametrilor DCM și ai atacatorilor ce își schimbă în mod dinamic stările lor. Deci, pentru a modela în un mod mai realist incertitudinea comportamentului atacatorilor și reacția de apărare a sistemului de securitate, este necesar de a lua în considerare, de asemenea, atât aspectele probabilistice, cât și cele fuzzy [1, 2, 6]. Cum s-a menționat, acest fapt poate fi realizat prin definirea unei noi extensii de RPGS în care unele atribute cantitative pot avea mărimi fuzzy, în baza cărora sunt determinate probabilitățile fuzzy de stare [7] și a efectua analiza QoS aplicațiilor de calcul orientate pe servicii.

Definiția 1. O rețea Petri generalizată (RPG), notată Γ , este o structură redată de un 10-tuplu de obiecte: $\Gamma = \langle P, T, Pre, Post, Test, Inh, K_p, Pri, G, M_0 \rangle$, unde: P este mulțimea nevidă de *locații*, $|P| = k$. Locațiile pot să conțină un număr întreg nenegativ de jetoane; T este mulțimea nevidă de *tranziții*, $|T| = n$ și $P \cap T = \emptyset$; $Pre, Test$ și $Inh: P \times T \times IN^{|P|} \rightarrow IN$ sunt, respectiv, funcții de incidență înainte ale arcelor cu o cardinalitate marcaj-dependentă: Pre este funcția de incidență înainte la tranziții, $Test$ este funcția *promotor*, iar Inh este funcția de *inhibiție* a tranzițiilor; $Post: T \times P \times IN^{|P|} \rightarrow IN$ este funcția de incidență înapoi la tranziții; $K_p: P \times IN^{|P|} \rightarrow IN$ este funcția de capacitate a locațiilor; $Pri: T \times IN^{|P|} \rightarrow IN$ este funcția de prioritate dinamică de declanșare a tranzițiilor validate de marcajul curent; $G: T \times IN^{|P|} \rightarrow \{true, false\}$ este o funcție de gardă; M_0 este marcajul inițial; IN este mulțimea numerilor întregi nenegative.

Regulile de funcționare ale rețelelor Γ și metoda de analiză a proprietăților comportamentale sunt descrise în [3].

Definiția 2. O rețea Petri stocastică fuzzy, numită RPGSF, este o structură de obiecte, redată de următorul 7-tuplu: $\tilde{\Gamma} = \langle \Gamma, w, \tilde{\Lambda}, \mu_\lambda \rangle$, unde: Γ este o RPG temporizată stocastic în care mulțimea finită de tranziții este partiționată astfel încât: $T = T^0 \cup T^\tau$, $T^0 \cap T^\tau = \emptyset$, iar $Pri(T^0) > Pri(T^\tau)$ este prioritatea de declanșare a tranzițiilor validate. Aici T^0 este mulțimea tranzițiilor imediate (grafic sunt reprezentate prin bare subțiri) cu o durată de declanșare nulă, iar T^τ este mulțimea tranzițiilor temporizate (grafic sunt reprezentate prin dreptunghiuri negre) cu o durată aleatorie de declanșare ce are o distribuție exponențial-negativă; $w: T_0 \times IN^{|P|} \rightarrow IR^+$ este funcția de pondere $w(t, M)$ ce determină probabilitatea de declanșare $q(t, M)$ a tranziției imediate validate $t \in T_0(M)$ de către marcajul curent M , care descrie un selector probabilistic; IR^+ este mulțimea mărimilor reale nenegative; $\tilde{\Lambda}: T^\tau \times IN^{|P|} \rightarrow IR^+$ este funcția ce determină rata fuzzy $0 < \tilde{\lambda}(t, M) < +\infty$ de declanșare a tranziției temporizate validate $t \in T^\tau(M)$ în marcajul curent M , adică parametrul legii exponențial-negative. Aici IR^+ este mulțimea mărimilor reale nenegative; $\mu_\lambda: \tilde{\Lambda} \rightarrow [0, 1]$ funcția gradului de apartenență al lui $\tilde{\lambda}(t, M)$ la mulțimea fuzzy $\tilde{\Lambda}$ care determină valorile numerice fuzzy ale ratelor de declanșare ale tranzițiilor temporizate.

Abordarea noastră de modelare și analiză este efectuată în două etape. Prima etapă este aceeași ca și cea convențională de modelare prin RPGS. Unica diferență este aceea că distribuția probabilităților staționare de stare ale RPGS este obținută parametric utilizând LMTC generat de RPGS. Cu alte cuvinte, fiecare probabilitate staționară de stare, π_i , este descrisă în termenii ratelor nefuzificate de declanșare ale tranzițiilor, adică în funcție de λ_i care reflectă natura stocastică a sistemului modelat. În a doua etapă ratele de declanșare ale tranzițiilor sunt reprezentate ca numere fuzzy triunghiulare, $\tilde{\lambda}_i = (\tilde{\lambda}_i^-, \tilde{\lambda}_i^+)$, care pot depinde de opiniile experților. După înlocuirea mărimilor numerice fuzzy ale $\tilde{\lambda}_i$, folosind teoria de calcul fuzzy, obținem α -tăieturi ale probabilităților staționare de stare fuzzy $\tilde{\pi}_i$ ale LMTC subiacent RPGSF [4]. În conformitate cu [7, 11] vom folosi aritmetica intervalelor cu α -tăieturi pentru a calcula funcțiile varia-bilelor fuzzy, în baza cărora putem obține mai multe informații decât prin utilizarea principiului de prelungire [11]. Pentru a putea găsi α -tăieturile ale

$\tilde{\pi}_i(\alpha)$ este necesar de a rezolva și o problemă de optimizare, care face ca soluția să fie fezabilă [7].

În cazul în care legea de distribuție a activităților considerate nu este cunoscută, însă dispunem de primele cele două momente ale acesteia, adică de media matematică \bar{u} și variația $Var.$, atunci ea poate fi aproximată prin legea Cox-2 de ordinul 2 sau Erlang generalizat de ordinul l . Se poate demonstra [3] că pentru orice \bar{u} și coeficient de variație $K^v = Var/(\bar{u})^2$, $0.5 \leq K^v < +\infty$ este posibil de a determina o lege Cox-2, parametrii căreia sunt identificați astfel: 1) dacă $K^v < 1$, atunci $\lambda' = 1/(\bar{u} \cdot K^v)$, $\lambda'' = 2/\bar{u}$ și $q = 2(1 - K^v)$; 2) dacă $1 < K^v$, atunci $\lambda' = 2/\bar{u}$, $\lambda'' = 1/(\bar{u} \cdot K^v)$ și $q = 1/(2 \cdot K^v)$. Aici λ' (resp. λ'') este rata de prelucrare la prima (resp. la a doua) fază, iar q (resp. $1 - q$) este probabilitatea că după terminarea primei faze (resp. nu) se va efectua a doua fază.

În Fig. 1 este prezentat modelul RPG1 stocastică (RPGS1) subiacentă RPGSF1 care descrie funcționarea unui DCM ce folosește metoda de prelucrare MPC a aplicațiilor în care duratele de atac, de compromitere a sistemului de securitate și a reînnoirii cheii din stările nesecurizate sunt distribuite conform legii Cox-2.

Semnificația locațiilor și a tranzițiilor RPGS1 din Fig. 1 este:

- *locații*: p_1 - stare în care sistemul funcționează în mod corect; p_2 - sistemul este atacat; p_3 - sistemul reînnoiește cheia secretă; p_4 - stare nesecurizată, atacatorul cunoaște secretele acestuia; p_5, p_8, p_{11} - inițierea selectării fazei 2 a legii Cox-2 respective; p_6, p_9, p_{12} - faza 2 de prelucrare a legii Cox-2 respective; p_7, p_{10}, p_{13} - semafor al legii Cox-2 respective; p_{14}, p_{15}, p_{16} - terminarea activităților conform legii Cox-2 respective; p_{17} - inițierea selectării prelucrării aplicațiilor în mod local sau pe server; p_{18} - aplicațiile MPC sunt prelucrate de server; p_{19} - aplicațiile sunt prelucrate în mod local de către dispozitivul mobil; p_{20} - populația potențială de cereri prelucrare aplicații.

- *tranziții*: $t_1, (t_{10})$ - schimbarea (reînnoirea) cheii secrete; $t_2, (t_8)$ - prima (a doua) fază în care un atacator declanșează un atac temporal al sistemului; $t_3, (t_{13})$ - prima (a doua) fază în care atacatorul sparge sistemul de securitate; t_4 - siste-

mul este readus starea bună funcționare după reînnoirea cheii secrete; $t_5, (t_{16})$ - prima (a doua) fază de reînnoire a cheii secrete din starea nesecurizată; t_6 - intrusul nu reușește să efectueze atacul și îl abandonează;

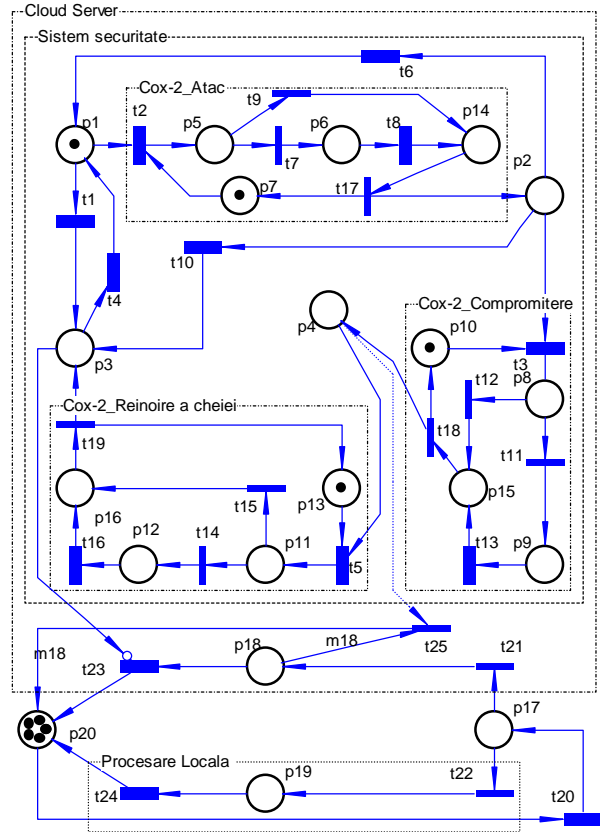


Figura 1. Modelul de rețea RPGS1 subiacentă RPGSF1 ce descrie funcționarea sistemului MPO.

$t_7, (t_9), t_{11}, (t_{12}), t_{14}, (t_{15})$ - selectarea (sau nu) fazei 2 a legii Cox-2 respective; t_{17}, t_{18}, t_{19} - terminarea activității conform legii Cox-2 respective; t_{19} - sosirea cererilor în sistem pentru prelucrarea aplicațiilor mobile; $t_{21}, (t_{22})$ - selectării prelucrării aplicațiilor în mod local (sau pe server); $t_{23}, (t_{24})$ - prelucrării aplicațiilor pe server (sau în mod local); t_{25} - aplicațiile nesecurizate (în p_{18}) sunt anulate, acest fapt este redat de ponderile arcelor (p_{18}, t_{25}) și (t_{25}, p_{18}) care sunt egale cu marcajul curent m_{18} al locației p_{18} .

Reînnoind cheia de criptare serverul poate preveni sau să întrerupă un atac temporal. În stările nesecurizate toate lucrările expediate către server, nu mai sunt sigure, prin urmare, ele sunt pierdute și prelucrarea acestora trebuie să fie repetată deoarece ele nu contribuie la *productivitatea* totală a siste-

mului. În RPGS1 faptul că lucrările sunt pierdute este redat de declanșarea tranziției t_{25} .

Graful de accesibilitate în formă de listă simbolică [4] al părții sistemului de securitate al modelului RPGS1 este:

$$M_0 = (p_1 p_7 p_{10} p_{13}) [t_1 > M_1, t_2 t_7 > M_2, t_2 t_9 t_{17} > M_3;$$

$$M_1 = (p_3 p_7 p_{10} p_{13}) [t_4 > M_0;$$

$$M_2 = (p_1 p_7 p_{10} p_{13}) [t_8 t_{17} > M_3;$$

$$M_3 = (p_2 p_7 p_{10} p_{13}) [t_6 > M_0, t_{10} > M_1,$$

$$t_3 t_{11} > M_4, t_3 t_{12} t_{18} > M_5;$$

$$M_4 = (p_7 p_9 p_{13}) [t_{13} t_{18} > M_5;$$

$$M_5 = (p_4 p_7 p_{10} p_{13}) [t_5 t_{14} > M_6, t_5 t_{15} t_{19} > M_1;$$

$$M_6 = (p_7 p_{10} p_{12}) [t_{16} t_{19} > M_1.$$

Analiza proprietățile comportamentale ale RPGS1 arată că aceasta este mărginită, viabilă și reinițializabilă. Deci, LMTC1 ce descrie funcționarea ei este ergodic [4], iar sistemul de ecuații ce descrie funcționarea RPGS1 în regim staționar este:

$$(\lambda_1 + \lambda_2)\pi_0 = \lambda_4\pi_1 + \lambda_6\pi_3, \quad \lambda_8\pi_2 = q_7\lambda_2\pi_0,$$

$$(\lambda_3 + \lambda_6 + \lambda_{10})\pi_3 = \lambda_8\pi_2 + q_9\lambda_2\pi_0, \quad (1)$$

$$\lambda_{13}\pi_4 = q_{11}\lambda_3\pi_3, \quad \lambda_5\pi_5 = q_{12}\lambda_3\pi_3 + \lambda_{13}\pi_4,$$

$$\lambda_{16}\pi_6 = q_{14}\lambda_5\pi_5, \quad 1 = \sum_{i=0}^6 \pi_i, \text{ unde:}$$

$$q_7 = w_7 / (w_7 + w_9), \quad q_9 = 1 - q_7,$$

$$q_{11} = w_{11} / (w_{11} + w_{12}), \quad q_{12} = 1 - q_{11},$$

$$q_{14} = w_{14} / (w_{14} + w_{15}), \quad q_{15} = 1 - q_{14}.$$

După obținerea probabilităților staționare de stare $\pi_i(\alpha)$, exprimate parametric în termeni ai ratelor de declanșare ale tranzițiilor, acestea apoi sunt reprezentate ca numere fuzzy triunghiulare, reprezentate prin α -tăieturi. Intervalul aritmetic al acestora, redat prin metoda de α -tăieturi, este bazat pe folosirea operatorilor *max* și *min* care pot produce intervale mai mari. Menționăm că $\alpha = 0$ reprezintă cel mai mare interval de probabilitate pe când pentru $\alpha = 1$ obținem probabilitățile de stare certe ale LMTC1. Teoretic, $\alpha = \alpha^*$ - tăietura unui număr fuzzy oferă cel mai mare interval posibil de valori. Din moment ce ne dorim să fie calculate probabilitățile fuzzy $\tilde{\pi}_i = [\pi_i^-, \pi_i^+]$, cel mai mare interval posibil al acestora este limitat la intervalul $\tilde{\pi}_i \in [0, 1]$, $i = 0, 1, 2, \dots, N$, unde N este numărul de stări al LMTC. Problema este de a găsi o astfel de α -tăietură minimală, care va satisface această condiție și ea poate fi găsită rezolvând următoarea problema de optimizare $\alpha = \hat{\alpha}$:

$$\text{Min}(Z) = \alpha$$

cu restricțiile: $\pi_i^+(\alpha) \leq 1$; $\pi_i^-(\alpha) \geq 0$;

$$0 \leq \alpha \leq 1; \quad \pi_i^-(\alpha) \leq \pi_i^+(\alpha).$$

2. ANALIZA NUMERICĂ A QoS

Indicatorii SF de securitate și de performanță definiți în continuare vor fi folosiți pentru a evalua unele atribute QoS ale sistemului în restul lucrării de față. În următoarea secțiune, vom evalua acești indicatori prin calcularea probabilităților $\pi_i(\alpha)$ ale CTMC1, subiacent modelului RPGS1, și de rezolvare a modelului de așteptare respectiv.

Vom presupune că pe parcursul funcționării sale sistemul dispune de mecanisme de detectare ale intruziunilor cu un comportament suspicios, caz în care sistemul va declanșa mai frecvent procesul de reînnoire a cheii secrete. Deci, vom presupune că în starea nesecurizată M_5 procesul de reînnoire a cheii secrete este declanșat la o rată diferită, $\tilde{\lambda}_5 = n \cdot \tilde{\lambda}_1$.

Parametrul n este coeficientul de reînnoire a cheii în starea nesecurizată, deoarece aceasta reprezintă relația dintre rata de reînnoire a cheii în starea bună funcționare și dintre cea nesecurizată.

Analiza unor indicatori ai SF va fi efectuată pentru cazul în care coeficienții de variație $K_j^y > 1$, ai funcțiilor de distribuție Cox-2 ale duratelor de declanșare ale tranzițiilor, sunt mai mari ca 1. În acest context, analiza va fi efectuată considerând, ca exemplu de evaluare și analiză a unor indicatori QoS, pentru următoarele valori numerice fuzzy ale ratelor de declanșare ale tranzițiilor respective:

$$\tilde{\lambda}_1 = (0.1 + \alpha, 2.1 - \alpha), \quad \tilde{\lambda}_2 = (0.5 + \alpha, 2.5 - \alpha),$$

$$\tilde{\lambda}_3 = (0.1 + 0.2\alpha, 0.5 - 0.2\alpha), \quad \tilde{\lambda}_4 = (1 + \alpha, 3 - \alpha),$$

$$\tilde{\lambda}_5 = n \cdot \tilde{\lambda}_1, \quad \tilde{\lambda}_6 = \tilde{\lambda}_2, \quad \tilde{\lambda}_8 = 0.2, \quad \tilde{\lambda}_{10} = \tilde{\lambda}_1, \quad (2)$$

$$\tilde{\lambda}_{13} = \tilde{\lambda}_{16} = 0.05, \quad \tilde{q}_7 = 1 / (4 \cdot \tilde{\lambda}_2),$$

$$\tilde{q}_{11} = 1 / (20 \cdot \tilde{\lambda}_3), \quad \tilde{q}_{14} = 1 / (20 \cdot \tilde{\lambda}_1).$$

Substituind mărimile numerice fuzzy redade de relațiile (2) în sistemul de ecuații (1), obținem următoarele soluții ale sistemului de ecuații (1) pentru intervalele stânga $\lambda_i^- = [a_i + \alpha \cdot (b_i - a_i)]$ și dreapta $\lambda_i^+ = [c_i + \alpha \cdot (c_i - b_i)]$:

$$\pi_0^- = \pi_2^- = 0.1n(0.1 + \alpha)(1 + \alpha)(0.7 + 2.2\alpha) / \gamma_1^-,$$

$$\pi_1^- = n(34\alpha^3 + 20.6\alpha^2 + 3.42\alpha + 0.17) / \gamma_1^-,$$

$$\pi_3^- = \pi_4^- = 0.5n(2\alpha^2 + 3\alpha + 1)(1 + 10\alpha) / \gamma_1^-, \quad (3)$$

$$\pi_5^- = \pi_6^- = 0.5(4\alpha^3 + 8\alpha^2 + 5\alpha + 1) / \gamma_1^-,$$

unde $\gamma_1^- = (98n + 4)\alpha^3 + (115n + 8)\alpha^2 +$

$$(36.22n + 5)\alpha + 2.57n + 1.$$

$$\pi_0^+ = \pi_2^+ = n(\alpha - 2.1)(\alpha - 0.3)(2.2\alpha - 5.1) / \gamma_1^+,$$

$$\pi_1^+ = n(34\alpha^3 - 224.6\alpha^2 + 493.82\alpha - 361.41) / \gamma_1^+,$$

$$\pi_3^+ = \pi_4^+ = 0.5n(2\alpha^2 - 11\alpha + 15)(10\alpha - 21) / \gamma_1^+, \quad (4)$$

$$\pi_5^+ = \pi_6^+ = 0.5(4\alpha^3 - 32\alpha^2 + 85\alpha - 75) / \gamma_1^+,$$

$$\text{unde } \gamma_1^+ = (98n + 4)\alpha^3 - (703n + 32)\alpha^2 + (1672.22n + 85)\alpha - 1319.01n - 75.$$

Analiza detaliată a acestor soluții (4) arată că $\forall \alpha \in [0, 1]$ și $\forall n > 0$ sunt verificate relațiile:

$$0 < \pi_i^-(\alpha) \leq \pi_i^+(\alpha) < 1, \quad i = 0, 1, 2, \dots, N.$$

2.1. Analiza confidențialității

În mod similar cu [8], indicatorii SF de securitate sunt considerați ca fiind confidențialitatea și costurile sistemului (de securitate), care sunt funcții de $\tilde{\pi}_i(\alpha, n)$, $i = 0, 1, 2, \dots, N$. Aceste probabilități fuzzy pot fi interpretate ca proporția duratei de timp în care LMTc1 se află în starea M_i . În cazul în care un atac temporal într-un sistem ce folosește MPO are succes, atacatorul obține cheia secretă și ulterior, el poate naviga în mod neautorizat prin fișierele sistemului. Astfel în RPGSF1 marcajul M_5 denotă pierderea confidențialității. Prin urmare, indicatorul de confidențialitate $\tilde{\pi}_{Conf.}(\alpha, n)$ în regim staționar, funcție de α și n , este calculat ca:

$$\tilde{\pi}_{Conf.}(\alpha, n) = 1 - \tilde{\pi}_5(\alpha, n). \quad (5)$$

Pentru ratele $\lambda_j^-(\alpha) \in [a_j + \alpha \cdot (b_j - a_j)]$ de declanșare ale tranzițiilor respective, redate de valorile numerice din (2), graficele $\pi_{Conf.}^-(\alpha, n)$ și $\pi_{Conf.}^+(\alpha, n)$ pentru $\lambda_j^+(\alpha) \in [c_j + \alpha \cdot (c_j - b_j)]$ sunt prezentate respectiv în Fig. 2.

Din Fig. 2 observăm că $\forall n \geq 0.5$ valoarea maximă a $\pi_{Conf.}^-(\alpha, n)$ (resp. $\pi_{Conf.}^+(\alpha, n)$) este obținută în cazul în care $\alpha = 1$, (resp. $\alpha = 0$). Analiza mai nuanțată a rezultatelor numerice ale $\pi_{Conf.}^-(\alpha, n)$, redate de relația (5), arată că acest indicator crește monoton odată cu creșterea ratei $\tilde{\lambda}_1^-(\alpha) \in [\lambda_j^-(\alpha), \lambda_j^+(\alpha)]$. Totodată, el crește și atunci când n , multiplul ratei de reînnoire a cheii în starea nesecurizată, este mai mare. Aceasta se datorează faptului că securitatea se îmbunătățește atunci când sistemul lansează mai frecvent procesul de reînnoire a cheii, deoarece este mult mai probabil ca sistemul să fie adus înapoi în starea bună funcționare din starea de atac și cea nesecurizată.

Astfel, pentru mărimile numerice analizate determinăm că cel mai mare indicator de confidențialitate este acel pentru care ratele de declanșare ale tranzițiilor primesc valori din intervalul drept $\lambda_j^+(\alpha) \in [c_j + \alpha \cdot (c_j - b_j)]$. De exemplu, pentru $n=10$ avem următoarele relații:

$$\text{Max}(\tilde{\pi}_{Conf.}^-(\alpha = 1, n = 10)) = 0.9964 =$$

$$\text{Min}(\tilde{\pi}_{Conf.}^+(\alpha = 1, n = 10)) <$$

$$\text{Max}(\tilde{\pi}_{Conf.}^+(\alpha = 0, n = 10)) = 0.9972.$$

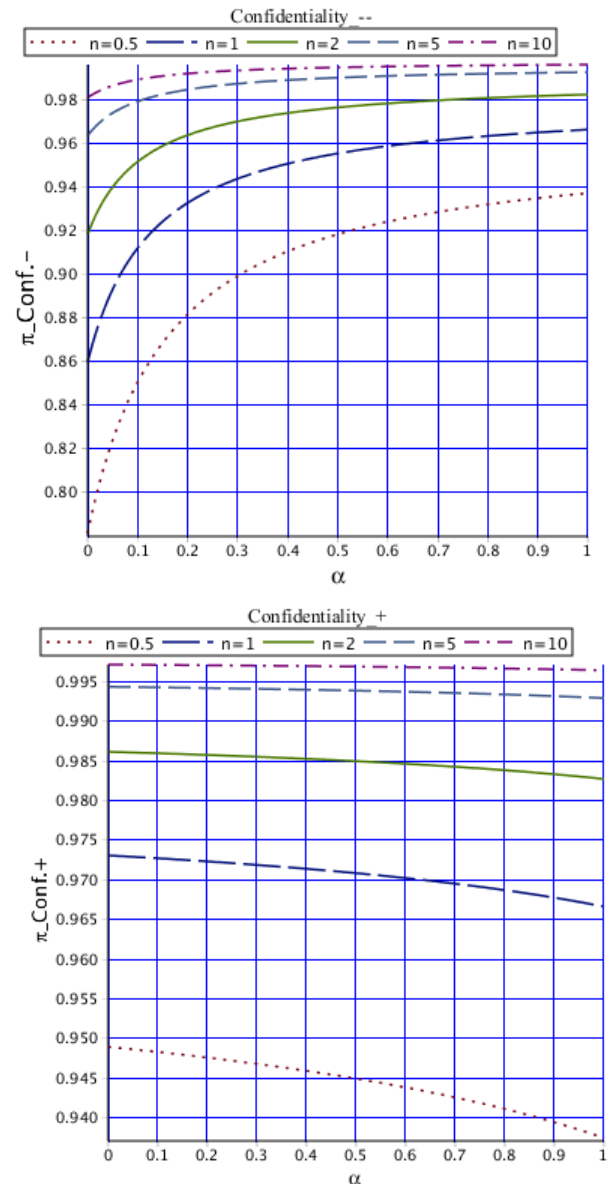


Figura 2. Indicatorii de confidențialitate $\pi_{Conf.}^-(\alpha, n)$ și $\pi_{Conf.}^+(\alpha, n)$ funcție de α și n .

2.2. Costul confidențialității

Un alt indicator al SF este costul sistemului de securitate $\pi_{Conf.}^-(\alpha, n)$, deoarece acesta suferă pierderi în două stări: în starea nesecurizată M_5 și în

cea de reînnoire a cheii M_1 . Sistemul suportă un cost sensibil la pierderea informațiilor în starea nesecurizată și, de asemenea, un alt cost este suportat atunci când sistemul lansează un proces de reînnoire a cheii. Aceste costuri sunt interpretate ca proporția timpului de viață al sistemului, adică, probabilitatea de aflare în starea de echilibru a CTMC1 în stările respective. Pentru a evidenția importanța relativă între pierderea informațiilor sensibile în starea nesecurizată și a efortului necesar pentru reînnoirea cheii în mod regulat folosim o pondere normalizată $0 \leq \omega \leq 1$ prin care acest cost este determinat de următoarea relație:

$$\tilde{\pi}_{Cost}(\alpha, n) = \omega \cdot \tilde{\pi}_1(\alpha, n) + (1 - \omega) \cdot \tilde{\pi}_5(\alpha, n). \quad (6)$$

În Fig. 3 sunt prezentate graficele costurilor de securitate $\pi_{Cost}^-(\alpha, n)$ și $\pi_{Cost}^+(\alpha, n)$ pentru $\omega = 0.5$ și respectiv ale ratelor de declanșare $\lambda_i^-(\alpha)$ și $\lambda_i^+(\alpha)$, redade de valorile numerice (2).

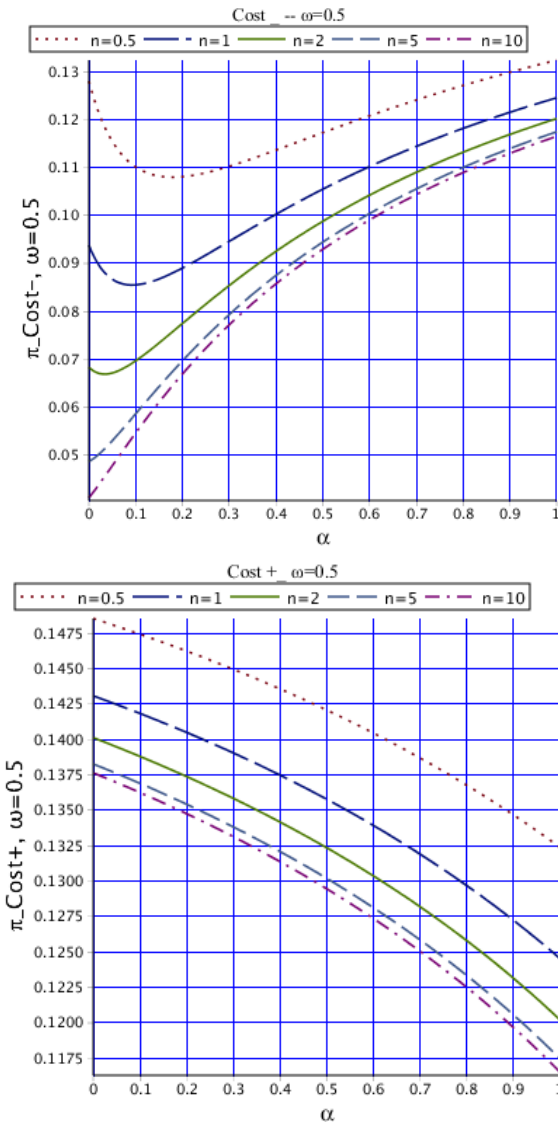


Figura 3. Indicatorii de cost $\tilde{\pi}_{Cost}^-(\alpha, n)$ și $\tilde{\pi}_{Cost}^+(\alpha, n)$ funcție de α și n .

Analiza numerică detaliată a acestor grafice arată că $\forall n > 0$ costul confidențialității (CC) minimal este obținut în intervalul $\lambda_j^-(\alpha)$. De exemplu, pentru $n=1$ avem:

$$\pi_{Cost}^-(\alpha^* = 0.0922, n = 1) = 0.0855 <$$

$$\pi_{Cost}^+(\alpha^* = 1, n = 1) = 0.1245,$$

iar pentru $n=10$ avem:

$$\pi_{Cost}^-(\alpha^* = 0, n = 10) = 0.0412 <$$

$$\pi_{Cost}^+(\alpha^* = 1, n = 10) = 0.1165,$$

ceia ce înseamnă că CC minimum este obținut $\forall n > 0$ atunci când $\lambda_j^* \in \lambda_j^-(\alpha)$, de exemplu, pentru $n=1$ costul minim va fi obținut pentru $\lambda_j^* = 0.1922$.

În cazul în care rata de reînnoire a cheii λ_1 este mică, costul sistemului este mic, din cauza probabilității mici de a se afla în starea de reînnoire a cheii. Pentru acești parametri stabiliți, atunci când $n = 10$, a fost determinat că cel mai mic CC al sistemului este obținut în cazul în care rata optimă de reînnoire a cheii este $\lambda_1^* = 0.1$. La o valoare λ_1 mai mare decât λ_1^* , CC crește din cauza creșterii efortului al procesului de reînnoire a cheii. De asemenea, vedem că în continuare costul sistemului scade odată cu creșterea coeficientului n de reînnoire a cheii. Acest lucru se datorează faptului că pentru toate ratele de reînnoire a cheii, durata medie de aflare în stările nesecurizate scade pe măsură ce în această situație reînnoirea cheii se va efectua mai frecvent. Practic, acesta înseamnă că este mai util de a declanșa mai des procesul de reînnoire a cheii doar când mecanismul de detectare găsește unii indici de intruziune.

În același context a fost analizat și efectul parametrului de ponderare ω și al α asupra CC sistemului $\tilde{\pi}_{Cost}(\alpha, n)$ care este prezentat în Fig. 4 pentru $n=10$. Din această figură se poate observa că CC scade monoton cu creșterea ratei de reînnoire a cheii $\tilde{\lambda}_1(\alpha)$ când $\omega = 0$, unde se vor lua în considerare numai costurile pierderii informațiilor sensibile în cazul când sistemul este nesecurizat. Intuitiv, în acest caz, atunci când este declanșat procesul de reînnoire a cheii mai des, CC va scădea. Însă, când se pune toată ponderea pe efortul de reînnoire a cheii ($\omega = 1$) cu creșterea ratei $\tilde{\lambda}_1(\alpha)$ va crește și costul acestui efort. Pentru valorile medii ale parametrului de ponderare ω , rata de reînnoire a cheii optimă pentru cel mai mic cost scade atunci când s-a pus o mai mare pondere pe costul efortului de reînnoire a cheii. Din figura 4, pentru parametrii specificați, constatăm că cel mai mare cost al

efortului de reînnoire a cheii și cel mai mic cost de securitate este când $\alpha = 0$, adică $\lambda_1^* = 0.1$.

2.3. Analiza productivității

Pentru a analiza influența coruperii sistemului de securitate, ca rezultat reușit al atacului, asupra productivității sistemului MPO vom presupune că durata totală de viață a acestuia este $\bar{\tau}$. În starea bună funcționare M_0 și în starea de atac M_3 , numărul de lucrări servite de către sistem trebuie să fie $E[X_1] = \tilde{\lambda}_{20}(\tilde{\pi}_0 + \tilde{\pi}_3)\bar{\tau}$, dat fiind că cozile de așteptare în p_{18} și p_{19} sunt stabil limitate. În starea M_1 de reînnoire a cheii, serverul refuză toate solicitările utilizatorilor și în acest caz toate lucrările trebuie să fie executate la nivel local.

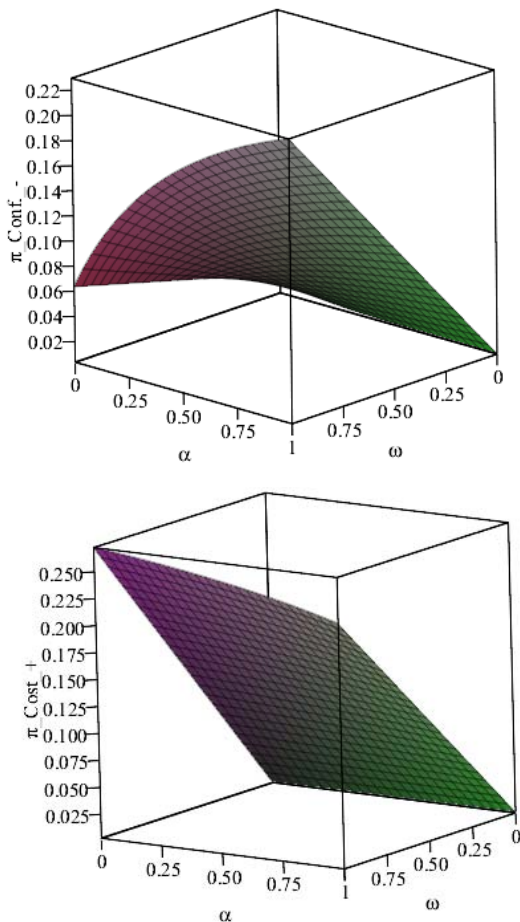


Figura 4. Indicatorii de cost $\pi_{Cost}^-(\alpha, \omega)$ și $\pi_{Cost}^+(\alpha, \omega)$ funcție de α și ω cu $n=10$.

Pentru $\tilde{\lambda}_{20} < \tilde{\lambda}_{24}$, numărul total de lucrări servite în acest mod este $E[X_2] = \tilde{\lambda}_{24}\tilde{\pi}_1\bar{\tau}$. În starea nesecurizată M_5 , toate lucrările expediate la server nu mai sunt sigure și deci ele vor fi anulate, deoarece acestea nu contribuie la evaluarea

productivității sistemului. Astfel, în această stare, productivitatea sistemului este determinată doar de lucrările executate de sistem la nivel local $E[X_3] = q_{22}\tilde{\lambda}_{20}\tilde{\pi}_5\bar{\tau}$. Prin urmare, conform legii Little relativ la sistemele de așteptare [4, 11] obținem următoarea relație care determină productivitatea (engl. *Throughput*) sistemului:

$$\tilde{\lambda}_{Thr.} = (E[X_1] + E[X_2] + E[X_3]) / \bar{\tau} = \tilde{\lambda}_{20}(\tilde{\pi}_0 + \tilde{\pi}_3) + \tilde{\lambda}_{24}\tilde{\pi}_1 + q_{22}\tilde{\lambda}_{20}\tilde{\pi}_5.$$

Analiza acestui indicator QoS este efectuată pentru următoarele valori numerice fuzzy ale ratelor de declanșare a tranzițiilor respective:

$$\begin{aligned} \tilde{\lambda}_{20} &= (2 + \alpha, 4 - \alpha), & q_{21} &= 1 - q_{22}, \\ \tilde{\lambda}_{24} &= (5 + 2\alpha, 8 - 3\alpha), \\ q_{22} &= (0.3 + 0.1\alpha, 0.6 - 0.2\alpha), \\ q_{22} &= (0.3 + 0.1\alpha, 0.6 - 0.2\alpha). \end{aligned}$$

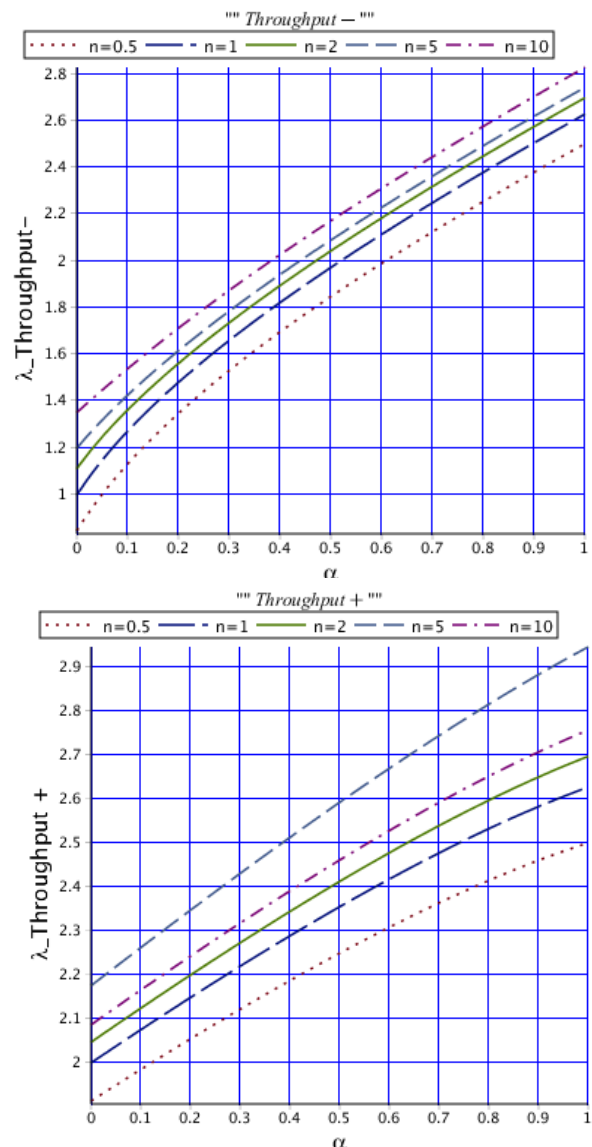


Figura 5. Indicatorii QoS de productivitate $\lambda_{Thr.}^-(\alpha, n)$ și $\lambda_{Thr.}^+(\alpha, n)$ funcție de α și n .

În Fig. 5 sunt prezentate graficele indicatorilor de performanță ale sistemului, și anume productivitatea lui, funcție de parametrii α și n . Din ele observăm că indicatorul de productivitate crește monoton odată cu creșterea lui α și a lui $\lambda_j^-(\alpha)$. De asemenea, el crește și atunci când n , multiplul ratei de reînnoire a cheii în starea nesigură, este mai mare. Acest lucru se datorează faptului că securitatea se îmbunătățește atunci când sistemul lansează procesul de reînnoire a cheii mai frecvent, deoarece este mult mai probabil ca sistemul să fie adus înapoi în stare bună funcționare din starea de atac și cea nesigură. Productivitatea maximă, pentru un n dat, este obținută atunci când $\alpha = 1$. Însă pentru $\lambda_j^+(\alpha)$ acest fapt este valabil numai când $n < 10$.

2.4. Analiza indicatorului tradeoff

Pentru a analiza modul în care securitatea sistemului MPO influențează performanța acestuia, este definit, de asemenea, indicatorul *tradeoff*, $\tilde{\eta}_{Thr}(\alpha, n)$, care este o funcție obiectiv formată din produsul *confidențialității*, atribut al securității acestuia, cu *productivitatea* lui [8]:

$$\tilde{\eta}_{Thr}(\alpha, n) = \tilde{\pi}_{Conf}(\alpha, n) \cdot \tilde{\lambda}_{Thr}(\alpha, n). \quad (7)$$

În Fig. 6 sunt prezentate graficele indicatorului $\tilde{\eta}_{Thr}(\alpha, n)$ ce redă compromisul posibil între securitatea și productivitatea sistemului MPC. Acest indicator crește cu creșterea lui α și a lui n , deoarece securitatea sistemului se îmbunătățește rapid. Trendul acestora este similar cu cel al graficelor productivității sistemului MPC. Însă ele diferă de cele obținute pentru cel mai mic indicator de cost al securității, deoarece ele sunt considerate la diferite aspecte de evaluare ale sistemului. În cazul în care rata de reînnoire a cheii are o valoare mare, parametrul multiplu n puțin afectează indicatorul $\tilde{\eta}_{Thr}(\alpha, n)$ când procesul de reînnoire a cheii este declanșat destul de frecvent. Acest indicator scade la rate mari de reînnoire a cheii, deoarece în acest caz productivitatea sistemului degradează. Acest indicator crește rapid la mărimi medii ale lui $\lambda_1(\alpha)$, deoarece securitatea sistemului se îmbunătățește rapid. Rata optimă λ_1^* de reînnoire a cheii pentru un $\tilde{\eta}_{Thr}^*$ maximum, cea mai bună securitate și performanță, este $\lambda_1^* = 1.10$ pentru $\alpha_1^* = 1$, când $n = 5$, unde n este multiplul ratei de ieșire din starea compromisă, $\tilde{\lambda}_5 = n\tilde{\lambda}_1$. Această rată optimă de reînnoire a cheii este diferită de cele obținute pentru cel mai mic indicator de Cost, deoarece acestea sunt

considerate la diferite aspecte de evaluare ale sistemului. Indicatorul $\tilde{\eta}_{Thr}$ scade mai lent când rata de reînnoire a cheii λ_1 devine mai mare decât λ_1^* . În cazul în care rata de reînnoire a cheii are o valoare mare, parametrul multiplu $n > 5$ nu afectează indicatorul $\tilde{\eta}_{Thr}$ mult când procesul de reînnoire a cheii este declanșat destul de frecvent. Acesta scade la rate mari de reînnoire a cheii, deoarece în acest caz productivitatea sistemului degradează.

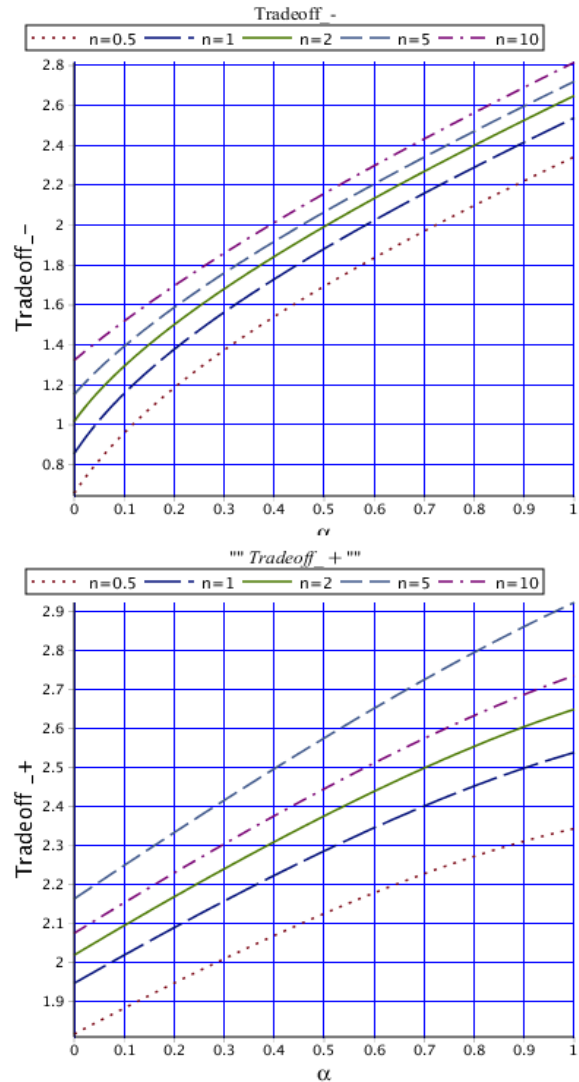


Figura 6. Indicatorii QoS tradeoff $\eta_{Thr}^-(\alpha, n)$ și $\eta_{Thr}^+(\alpha, n)$ funcție de α și n .

De asemenea, pentru intervalul stâng al schimbării ratelor $\lambda_j^-(\alpha)$ de schimbare a stărilor sistemului MPC pentru $\forall n > 0$ este totdeauna relația $\tilde{\eta}_{Thr}^-(\alpha = 1, n) > \tilde{\eta}_{Thr}^-(\alpha = 1, n + 1)$ este verificată, însă pentru $\forall \lambda_j^+(\alpha)$ al intervalului drept $\exists n$ astfel încât această relație nu totdeauna are loc. De exemplu, din Fig. 6 observăm că:

$$\tilde{\eta}_{Thr}^-(\alpha = 1, n = 5) > \tilde{\eta}_{Thr}^-(\alpha = 1, n = 10).$$

Astfel, în această lucrare este propusă o metodă care poate fi utilizată de către administratorul de sistem pentru a găsi cum să fie controlat mecanismul de securitate (reînnoirea cheii) al sistemului. Costul de sistem este un indicator ce poate fi folosit ca un criteriu pentru furnizorii de servicii pentru a taxa utilizatorii lor. Dacă utilizatorii au nevoie de un nivel de securitate mai ridicat, ei trebuie să plătească mai mult pentru serviciile MPC. De asemenea, administratorul de sistem poate utiliza acest rezultat pentru a obține un cost minim sau un maxim *tradeoff* de productivitate - securitate pentru sistemul dat.

Menționăm că această abordare poate fi generalizată prin îmbinarea utilizarea metodelor RPGSF cu *jocuri teoretice* pentru a modela și evalua riscurile pierderilor așteptate, asociate cu diferite strategii de atac și apărare.

Soluțiile parametrice ale sistemului de ecuații (1), toate calculele numerice și construirea graficelor respective în această lucrare au fost efectuate folosind pachetul de programe științifice Maple Toolbox 2015 WindowsX86

Lucrarea dată a fost efectuată în cadrul Proiectului Național de Cercetări Științifice Aplicative 15.817.02.28A din Republica Moldova.

3. CONCLUZII

În lucrare este prezentat un cadru unificator de modelare, evaluare și analiză a indicatorilor QoS la riscul de atac al intrușilor rețelelor MANET cu dispozitive de calcul mobile (DCM), care îmbină utilizarea metodelor RPG stocastice cu durate de declanșare ale tranzițiilor conform legii Cox-2 și a logicii fuzzy. În baza acestor paradigme este definită o nouă clasă de RPG stocastice fuzzy, rețele RPGSF. Acest tip de modele permite de a descrie mai nuanțat comportamentul așteptat al atacatorilor și al sistemului de securitate MANET cu parametri fuzzy. În acest context, este prezentat și analizat numeric un model concret de RPSF1 ce descrie funcționarea sistemului de securitate a DCM care folosesc migrarea aplicațiilor de calcul (MPC) către servere performante cu specificarea locațiilor, tranzițiilor și a atributele cantitative nuanțate.

Extinderea analizei prin includerea unui protocol reconfigurabil de reînnoire a cheilor și validarea lui înainte de a fi aplicat va fi efectuată în viitor. Un alt obiectiv pe viitor este de a dezvolta și a integra în mediul de simulare vizuală VHPN un subsistem ce va automatiza procesul de verificare și analiză a indicatorilor QoS a acestor tipuri de rețele.

Bibliografie

1. **Augustin, T., Miranda, E., Vejnarova, J.** *Imprecise probability models and their applications. International Journal of Approximate Reasoning*, 50(4), pp. 581 – 582, 2009.
2. **Ding, Z., Shen, H.** *Applying Fuzzy Differential Equations to the Performance Analysis of Service Composition. D.-S. Huang et al. (Eds.): ICIC 2010, LNCS 6215, Springer-Verlag, pp. 118–125, 2010.*
3. **Gelenbe, E. et all.** *Réseaux de files d'attente : modélisation et traitement numérique. Ed. Hommes et Techniques. Monographies d'Informatique de L'AFCEC, 1980. - 160 p.*
4. **Guțuleac, E.** *Evaluarea performanțelor sistemelor de calcul prin rețele Petri stocastice. Editura „Tehnica-Info”, Chișinău, 2004, - 276 p.*
5. **Li, B., Xu, Y., Wu, J., Zhu, J.** *A Petri net and QoS Based Model for Automatic Web Service Composition. Journal of Software, Vol. 7, No. 1, pp. 149-155, 2012.*
6. **Liu, F., Heiner, M., Yang, M.** *Fuzzy Stochastic Petri Nets for Modeling Biological Systems with Uncertain Kinetic Parameters. PLoS ONE 11(2): e0149674, pp. 1-19, 2016. DOI:10.1371/journal.pone.0149674.*
7. **Kahraman, C., Tüysüz, F.** *Manufacturing System Modeling Using Petri Nets. In: C. Kahraman & M. Yavuz (Eds.): Prod. Engr. & Manage., STUD-FUZZ 252, Springer-Verlag, pp. 95–124, 2010.*
8. **Meng, T., Wolter, K., Wang, Q.** *Security and Performance Tradeoff Analysis of Mobile Offloading Systems Under Timing Attacks. In M. Beltran et al. (Eds.): Computer Performance Engineering 12th European Workshop, LNCS 9272, pp. 32–46, 2015. DOI:10.1007/978-3-319-23267-6 3.*
9. **Sallhammar, K., Helvik, B. E., Knapskog, S. J.** *On stochastic modelling for integrated security and dependability evaluation. The Journal of Networks, Vol. 1, Issue 5, 2006, p. 31 – 42.*
10. **Tao, M., Shan, H.** *An improved method of the attack tree model for mobile Ad Hoc networks Research. Computer Applications and Software, Vol. 26, Issue 4, pp. 271 – 273, 2009.*
11. **Thamotharan, S.** *A Study on Multi Server Fuzzy Queuing Model in Triangular and Trapezoidal Fuzzy Numbers Using α – Cuts. International Journal of Science and Research (IJSR), Volume 5 Issue 1, pp. 226-230, 2016.*
12. **Zhou, K. Q., Zain, A. M.** *Fuzzy Petri nets and industrial applications: a review. Artif. Intell. Rev. 45, pp. 405–446, 2016. DOI 10.1007/s10462-015-9451-9.*

Recomandat spre publicare: 10.09.2016.